

# 導電性を有する透明紙の開発

評価技術課 丹保浩行 奈須野雅明<sup>\*1</sup> 岩坪聰 加工技術課 小幡勤<sup>\*2</sup>

## 1. 緒言

セルロースナノファイバー(CNF)は、木材を構成する主成分のセルロースをナノ化した素材である。鋼鉄と同等の強度を持ちながら軽いCNFから形成される紙は、折り畳め、ガラス並みの低熱膨張率・高透過率という特徴を有している。一方、酸化インジウムスズ(ITO)は、低抵抗率・高透過率であるため、光・電子デバイスの透明導電膜として、広く用いられている。近年、CNF透明紙上にAgナノワイヤ透明導電膜を形成することにより有機太陽電池が作製され、さらにはCNF基板上にITO電極を形成することによりメモリが作製されている<sup>1)</sup>。我々は、これまで、濾過法を用いてCNF紙の内部あるいは表面に添加したAgナノワイヤが光学・電気特性に与える影響をナノワイヤ配向性の観点から検討してきた。そして、CNF上にAgナノワイヤを堆積して加熱プレスをしたとき、Agナノワイヤが重なりあうことによる隙間や凹凸がCNF紙上に生じることがわかった。本研究では、CNF紙上に均一な膜厚の導電性を有する透明膜を形成することを目的として、CNF紙上に堆積するITOの成膜温度について検討し、ITO/CNFシートの特性評価を行った。

## 2. 実験方法

直径の平均が数10 nmのCNFを用いた。純水を用いて0.7 mass%に希釈したCNF溶液をシリコンウェハー上に滴下し、50°Cで乾燥を行った。絡まり合うナノファイバ一同土を水素結合させ空隙の小さいCNF紙を形成するため、大気中50°Cで18 hプレスし、溶媒を蒸発させた。シリコンウェハーからCNFを剥離することで紙を作製した。マグネットロンスペッタ装置内で、水分などを完全に除去するため、CNF紙を150°C～200°Cで1 h加熱した。引き続き、同一温度でITOを1 h堆積した。ここで、Ar流量は20 sccm、RF電源は100 Wで固定した。

## 3. 実験結果および考察

電界放出形走査電子顕微鏡(FE-SEM)を用いて観察したITO/CNFシートの表面SEM像を図1に示す。SEM像から、ファイバー形状をしたITO連続膜が観察された。このことから、ITOは絡まり合うナノファイバーの表面形状の影響を受けて堆積しており、成膜が進むにつれてCNF紙の空隙は減少していき、ITOは連続膜になったと考えられる。

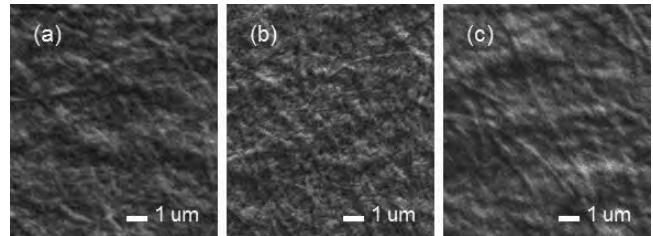


図1 ITO/CNFシートの表面SEM像

ITO成膜温度(a)150°C、(b)180°C、(c)200°C

図2に紫外可視近赤外分光光度計を用いて測定したCNF紙およびITO/CNFシートの透過率を示す。CNF紙の透過率は、波長領域570-750 nmで89%を示した。一方、ITO/CNFシートの透過スペクトルは波打ち、スペクトル周期はITO成膜温度150°C～200°Cの範囲では、ほぼ同じであった。ITO/CNFシートの透過スペクトルは、波長590 nmにおいて83%の透過率を示した。ITO成膜温度200°Cのとき、150°Cとほぼ同様の透過スペクトルを示したことから、150°C～200°Cで構造変化する不純物がほとんど含まれていないと考えられる。さらに、CNF紙およびITO/CNFシートの透過スペクトル変化より、CNF紙上に均一な厚みのITO薄膜が形成されていると考えられる。ここで、ITOの屈折率を2としたとき、透過スペクトルの周期からITO薄膜の膜厚は約200～300 nmと算出された。比較のため、Si基板上に成膜温度150°Cで作製したITO薄膜の断面SEM像を観察したところ、ITO薄膜の膜厚は約275 nmであることがわかった。

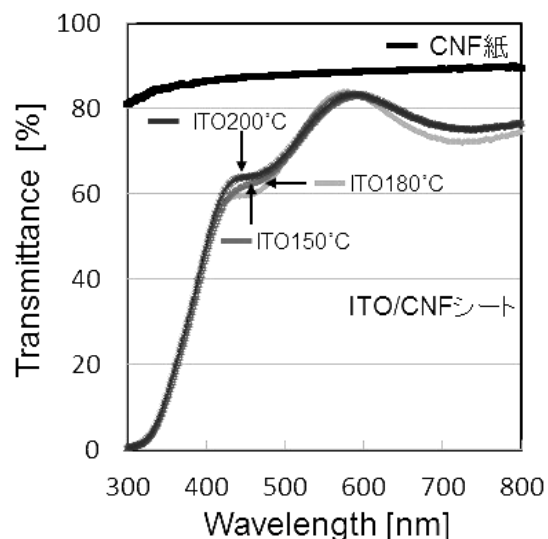


図2 CNF紙およびITO/CNFシートの透過率

\*1現企画情報課 \*2現商工企画課

四探針法を用いて測定したCNF紙上のITO薄膜の電気抵抗率を図3に示す。ここで、ITO/CNFシートはフレキシブルかどうかを検討するため、幾度曲げられた後、電気特性評価を行った。成膜温度が高くなるにつれて、体積抵抗率は減少し、ITO成膜温度200°Cのとき、 $2 \times 10^{-3} \Omega \cdot \text{cm}$ を示した。

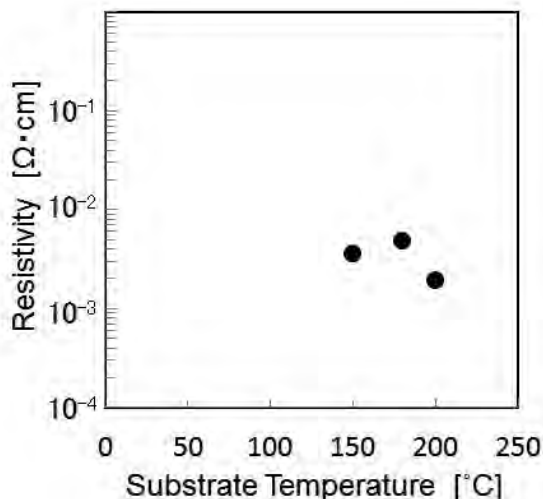


図3 CNF紙上に堆積したITO薄膜の電気抵抗率

ITO/CNFシートに対するX線回折をθ-2θスキャンで行った。得られた強度をセルロース(200)で規格化した結果を図4に示す。この(200)を基準としたとき、回折ピークは、それぞれITO(222)、(400)、(440)および(622)に対応していた。また、ITO成膜温度が高くなるにつれて、ITO(222)のピーク強度は増大し、ITO(400)およびセルロース(200)に対するITO(222)のピーク強度比は増大した。これらの結果から、CNF紙上に堆積したITOはランダム配向した結晶粒を形成しており、成膜温度の増加にともないITO

の結晶性は向上していると考えられる。

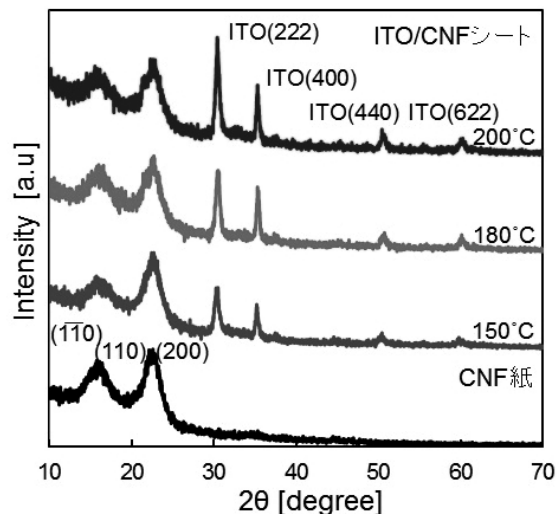


図4 CNF紙およびITO/CNFシートのX線回折パターン

#### 4. 結言

加熱プレス法を用いて作製したCNF紙上にスパッタ法を用いてITOを堆積し、ITO/CNFシートを形成した。表面SEM像より、ファイバー形状をしたITO連続膜が観察された。ITO/CNFシートの透過スペクトルは波打ち、波長590 nmにおいて83%の透過率を示した。さらに、曲げられるITO/CNFシートのITO抵抗率は $10^{-3} \Omega \cdot \text{cm}$ オーダーを示した。ITO成膜温度が高くなるにつれて、ITO(222)のX線回折ピーク強度比は増大し、抵抗率は減少した。

#### 参考文献

- U. Celano et al.: NPG Asia Mater, 8 (2016) e310

キーワード：セルロース、ナノファイバー、酸化インジウムスズ、導電性、透明性

#### Development of Transparent Paper with Conductive Property

Evaluation Engineering Section; Hiroyuki TAMBO, Masaaki NASUNO and Satoshi IWATSUBO

Processing Technology Section; Tsutomu OBATA

Preparation of indium tin oxide (ITO) thin film on cellulose nanofiber (CNF) paper has been investigated to form transparent conductive sheet. Initially, the CNF solution was drop on Si wafer and was heat at 50°C followed by hot pressing for 18 h. Then, ITO thin films were deposited on the CNF paper by a magnetron sputtering. The ITO/CNF sheets showed transmittance 83% at 590 nm. It was found that when the deposition temperature is increased, the ITO resistivity decreases. The XRD peaks showed the crystalline grain formation of ITO on the CNF paper.